

## 降雨下での斜面の信頼性解析と破壊予知に関する研究

鳥取大学工学部 正会員 高岡 宣善 鳥取大学大学院 ○学生員 杉村 重憲  
 鳥取大学工学部 正会員 白木 渡 (株) 村本建設 正会員 上辺 健夫  
 鳥取大学工学部 正会員 松保 重之

**1. まえがき** 我国は、到る所に急斜面をもち、降水量が多いため集中豪雨による斜面崩壊が起こりやすい。そのため、従来からその現象の解明と対策に関して多くの研究がなされてきた<sup>1)</sup>。本研究では、斜面崩壊に至るかどうかの判定と降雨による崩壊発生時間の予知を多くの不確実性を含む土性値に対して、信頼性理論を導入することにより評価する。また、斜面の破壊確率の評価法として、相関を有し非正規分布する多くの確率変数を有する問題にも適用でき、しかも精度良い解を得ることができる繰り返し高速モンテカルロ法<sup>2)</sup>を用いることを提案する。

**2. 斜面の安定解析法** 斜面の安定解析手法には、摩擦円法と分割法がよく用いられるが、ここでは円弧すべり面による分割法を取り上げる。図-1(a)において、すべり円弧の中心に関してのモーメントを考えた場合、斜面の安定度を示す安全率Fは式(1)で定義される。ここに、 $M_r$ :すべりに抵抗するモーメント、 $M_s$ :すべりを起こそうとするモーメント、W:単位幅当たりの分割片の重量( $t/m$ )、S:単位幅当たりの分割片底面における抵抗力( $t/m$ )、 $\alpha$ :分割片とすべり面の傾斜角(度)である。この分割法も、分割片に働く外力の評価の仕方により、フェレニウス法とビショップ法の2つの解析法がある。分割片に働く外力を図-1(b)のように考え、式(2)により安全率を求める方法が、フェレニウス法と呼ばれる解析法である。ここに、 $W'$ :地下水位以下で浮力を考慮した有効重量( $t/m$ )、l:分割片がすべり面を切る弧の長さ( $m$ )、c:土の粘着力( $t/m$ )である。また、図1-(c)に示すように分割片の側面に働く力 $X_n$ 、 $E_n$ を考え、式(3)により安全率を求める解析法がビショップ法である。ここに、u:分割片底面における単位面積当たりの間隙水圧( $t/m^2$ )である。

**3. 斜面の安定解析への信頼性理論の適用** 斜面崩壊についての破壊基準関数は、すべりモーメントと抵抗モーメントの差の形で式(4)のように定義する。従って、破壊確率P<sub>f</sub>は式(5)で表わされる。斜面が2層以上に別れている時には、破壊確率P<sub>f</sub>は式(6)のようになる。ここに、Z<sub>i</sub>:上からi番目の層の破壊基準関数( $i=1, 2, \dots, n$ )である。一般に、この破壊確率を評価する際には各崩壊モード間の相関を考慮して評価する必要がある。

**4. 降雨下での斜面崩壊予知法<sup>1)</sup>** 崩壊の時間的な予知問題を考える場合、時々刻々と変わる土中水分状態(飽和度)を把握し、飽和度の変化による強度の力学的特性を推定し、斜面の破壊確率の変化を推定して、斜面の崩壊を予知する必要がある。設計飽和度S<sub>r</sub>は式(7)により推定される。ここに、S<sub>r1</sub>:初期飽和度(%)、R<sub>e</sub>:実効雨量(cm)、n:間隙率(%)、D:表層厚(m)である。粘着力cは飽和度に大きな影響を与える、cがピーク値をとる飽和度をS<sub>r\*</sub>とし、そのときのcをc<sub>max</sub>とすると、間隙比eとS<sub>r\*</sub>との関係は式(8)により表わされる。そしてS<sub>r\*</sub>より温潤側でのcの現象特性は、c/c<sub>max</sub>をc\*で表わし、S<sub>r</sub>-S<sub>r\*</sub>を△S<sub>r</sub>と表わすと、c\*は正規分布で近似でき、c\*の平均値と標準偏差S<sub>c\*</sub>は式(9)で表わされる。また、せん断抵抗角φは、本研究では比較的浅い斜面の破壊問題を取り扱っているため、斜面土のせん断強度の変化によって与える影響はcに比べてはるかに小さく、S<sub>r</sub>とは無関係な一定の正規分布として与える。このように、降雨による斜面土の飽和度への変化とこれに伴う土の強度の遷移特性がZ=M<sub>r</sub>-M<sub>s</sub> (4)

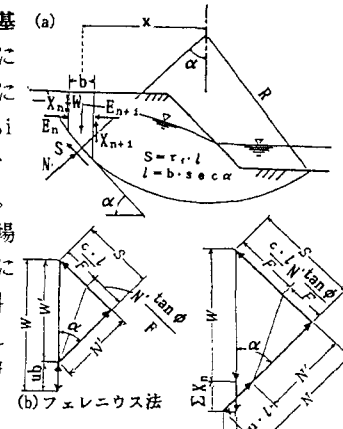


図-1 分割法

$$F = \frac{M_r}{M_s} = \frac{\sum S}{\sum W \sin \alpha} \quad (1)$$

$$F = \frac{\sum [c l + W' \cos \alpha \tan \phi]}{\sum W \sin \alpha} \quad (2)$$

$$F = \frac{1}{\sum W \sin \alpha} \cdot \frac{\sum [c b + (W - u b) \tan \phi]}{\cos \alpha + \frac{\tan \phi \sin \alpha}{F}} \quad (3)$$

明らかにされ、時々刻々と変化するする斜面の破壊確率を計算することができる。

5. 数値計算例および考察 図-2の斜面において、表-1のような正規分布する確率変数を想定し、ビショップ法とフェレニウス法とにより破壊確率を計算した結果が  $P_f = P[Z = M_r - M_s \leq 0]$  (5)  $S_r^* \approx -100.0 \text{e} + 128.8 (\%)$  (6) 表-2である。ここに、 $P_{f2}$ ,  $P_{f3}$ はそれぞれ斜面の第二層お  $P_f = P[(Z_1 \leq 0) \cup (Z_2 \leq 0) \cup \dots \cup (Z_n \leq 0)]$  (6)

$$\text{より第三層の底面に接する円弧によって求めた斜面の破壊 } S_{r*} = S_r + \frac{10 R}{n D} \quad (7) \quad c^* = 1.0 - 0.018 \Delta S_r \quad (9)$$

確率であり、 $P_{fA}$ は全ての層の相関を考慮に入れて求めた斜面の破壊確率である。

第一層での破壊確率  $P_{f1}$ は、計算した結果他の層の数値と比べて非常に小さ

いのでここでは除外した。表-2の結果ではフェレニウス法で計算した破壊確率の方が大きいのであるが、これは図-2の斜面における中央安全率  $F$

がビショップ法: 1.417, フェレニウス法: 1.242と

なっており、フェレニウス法の方が安全率を小さく評価する傾向があることによるものと思われる。

また、各層の破壊確率が独立であると仮定すると、

全体の破壊確率  $P_f (=P_{f1}+P_{f2}+P_{f3})$  はビショップ法

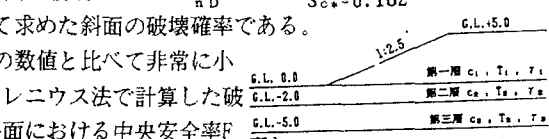


図-2 三層斜面のモデル

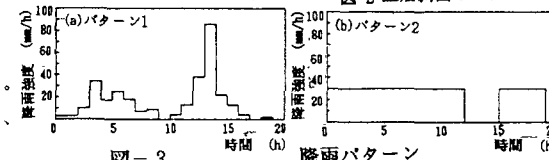


図-3 降雨パターン

では  $P_f = 0.097$ , フェレニウス法では  $P_f = 0.282$  となり各層の相関を考慮に入れた場合と異なった値となる。このよう

に、繰り返し高速モンテカルロ法を用いることにより、容易に各層の相関を

考慮した評価ができるのである。次に、

降雨による斜面崩壊の予知問題を考える。

表-2の結果よりフェレニウス法はビショップ法よりも破壊確

率を安全側に評価しているので、破壊確率の計算はフェレニウス

表-1 適用例で用いる数値

変数	$q (tf/m)$	$C_1$	$T_1$	$r_1$	$C_2$	$T_2$	$r_2$	$C_3$	$T_3$	$r_3$
平均値	5.0	1.6	0.3	1.8	1.5	0.25	1.7	1.3	0.2	1.5
標準偏差	1.0	0.32	0.06	0.09	0.6	0.075	0.085	0.65	0.1	0.12

$T = \tan \phi$

表-2 破壊確率の計算結果

について、破壊確率  $P_f$  の時間的な変化を調べ、そして破壊確率の時

間的な上昇速度  $P_{f*}$  を求めグラフ

にしたのが図-4である。この図に

おいて  $P_{f*}$  が一番大きなものを

$(P_{f*})_{\max}$  とすると、降雨強度最大付近で  $(P_{f*})_{\max}$  が現われていることがわかる。

そして、統計をとった結果、 $(P_{f*})_{\max}$  が約8%以上の値をとる場合に破壊する可能性が高いことがわかっている<sup>1)</sup>。この

ことと図-4から、降雨パターン1のような降雨強度の時間的上昇率が大きいもの程、斜面は崩壊しやすいと思われる。この結果より、斜面の崩壊を予知するために繰り返し高速モンテカルロ法を適用して斜面の破壊確率を計算し、 $(P_{f*})_{\max}$  の遷移を瞬時に追うことのできるシステムの構築は、非常に有効であることがわかった。

参考文献: 1) 松尾 稔: 地盤工学-信頼性設計の理念と実際-, 技報堂出版, 1984.

2) 白木 渡.G.I.Schüller: 条件付き破壊確率を用いた繰り返し高速モンテカルロ法と

その構造物の動的信頼度評価への応用, 構造工学論文集, Vol. 35A, 1989.

表-3 斜面の諸性質						
	$C_{max}$	$T = \tan \phi$	$r$	斜面傾斜角(°)	表面厚( m )	初期 $S_r (\%)$
1	2.0	0.2	2.61	56.3	4.0	50.0
2	1.4	—	1.9	26.6	5.0	38.8
3	1.6 1.5 1.3	0.3 0.25 0.2	1.8 1.7 1.5	21.8	5.0	38.8 0.9